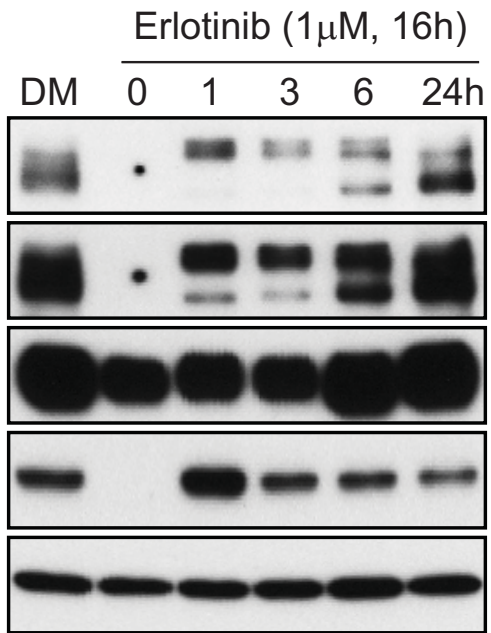


Figure S5. Lee et al

A

PC-9 (delE746_A750)



B

PC-9/ER (delE746_A750/T790M)

